

1 Topics

- 0310 250万年前の新種猿人の化石がエチオピアで発見されたことに関する記事群
- 0320 NTT（とC&W）のIDC買収に関する記事群
- 0340 ゲームソフトの中古販売は適法であると東京地裁が判断したことに関する記事群
- 0350 インディペンデンス艦載機の夜間離着陸訓練（NLP）に関する記事群
- 0360 タンザニア、ケニアでの米国大使館同時爆破事件に関する記事群
- 0370 スハルト大統領辞任に関する記事群
- 0480 ロシアの首相にプーチン氏が指名されたことに関する記事群
- 0400 オサマ・ビン・ラディン氏がアフガニスタンでタリバン政権にかくまわれているとされることに関する記事群
- 0410 中田のペルージャ移籍に関する記事群
- 0420 ドリームキャスト発売に関する記事群
- 0440 ニホンカワウソの生存証拠が見付かったとされることに関する記事群
- 0450 京セラが三田工業を子会社化することに関する記事群
- 0460 台風によって壊れた室生寺（五重塔）に関する記事群
- 0470 YS-11の引退に関する記事群
- 0480 天体望遠鏡「すばる」の試験観測開始に関する記事群
- 0500 クローン羊ドリーに関する記事群
- 0510 ニュートリノに質量があるとされることに関する記事群
- 0520 ヒトゲノムプロジェクト、第22番染色体の解読完了に関する記事群
- 0530 99年末の北アイルランド和平協議に関する記事群
- 0540 新型新幹線（700系）デビューに関する記事群
- 0550 青島幸男氏が知事選不出馬を決めたことに関する記事群
- 0560 関西大学の入試ミスに関する記事群
- 0570 スペースシャトル、エンデバーの打ち上げから帰還までに関する記事群
- 0580 京大の研究グループがミャンマーで4000万年前の新種サルの化石を発見したことに関する記事群
- 0590 ジョージ・マロリー氏の遺体がエベレストで発見されたことに関する記事群
- 0600 AIBO（アイボ）発売に関する記事群
- 0610 iMacのそっくりさんe-oneに関する記事群
- 0630 キトラ古墳の調査再開に関する記事群
- 0640 パプアニューギニアの地震による津波被害に関する記事群
- 0650 NATOの中国大使館誤爆に関する記事群

2 Task Participants

Table 1: System-ID

| SYS-ID | description |
|--------|--|
| SOUKEN | The Graduate University for Advanced Studies |
| CRLNYU | Communications Research Laboratory / New York University |
| smlab | Toyohashi University of Technology |
| MOGS | The University of Tokyo |
| forest | Yokohama National University |
| KLEIR | Pohang University of Science & Technology |
| DBLAB | Hokkaido University |
| UEC | The University of Electro-Communications |
| UYDI | Ritsumeikan University |

Table 2: Task Participation.

| SYS-ID | abstraction | extraction |
|--------|-------------|------------|
| SOUKEN | * | ** |
| CRLNUY | * | ** |
| smlab | * | * |
| MOGS | * | * |
| forest | * | * |
| KLEIR | * | — |
| DBLAB | * | * |
| UEC | * | * |
| UYDI | * | * |

3 Results

3.1 Results on extraction

Table 3: Evaluation Results (Extraction)

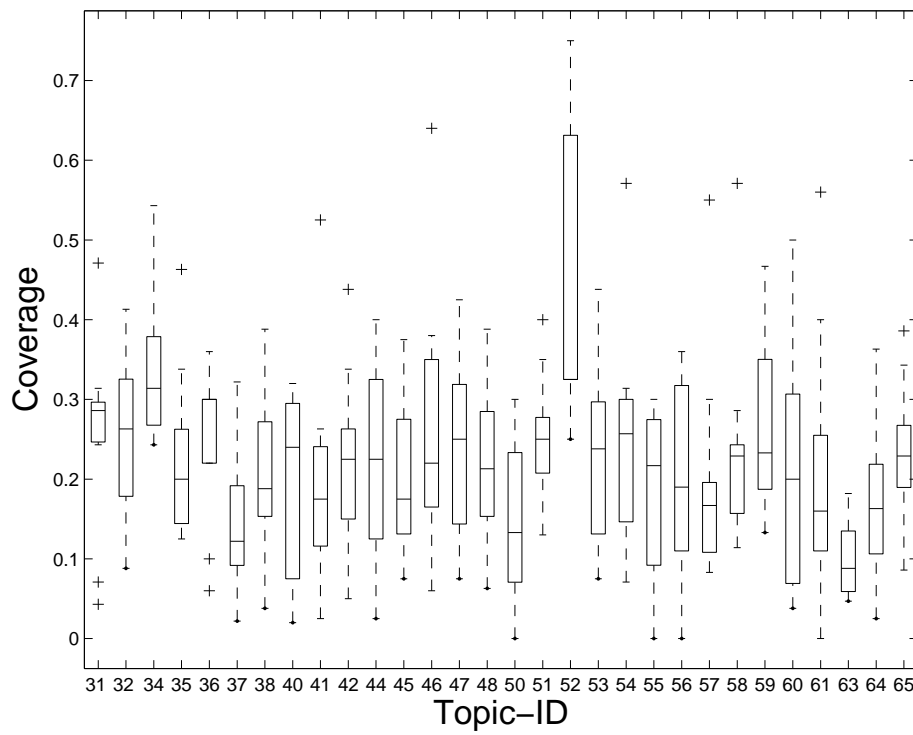
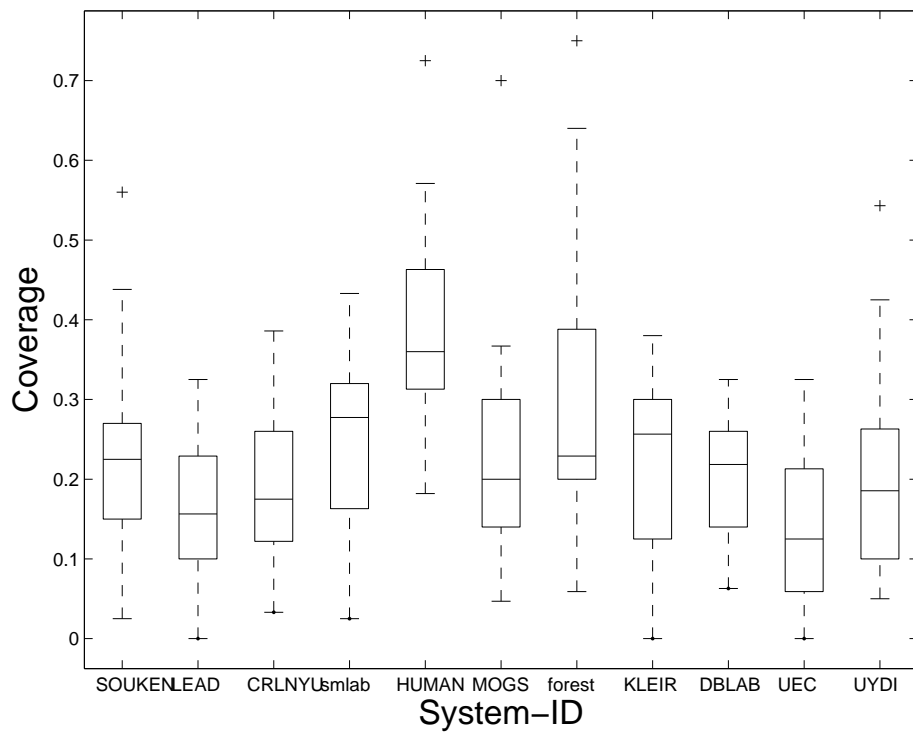
| ID | Short | | Long | |
|-----------|-------|-------|-------|-------|
| | Cov. | Prec. | Cov. | Prec. |
| SOUKEN(a) | 0.315 | 0.494 | 0.355 | 0.554 |
| SOUKEN(b) | 0.372 | 0.591 | 0.363 | 0.587 |
| CRLNYU(a) | 0.222 | 0.314 | 0.313 | 0.432 |
| CRLNYU(b) | 0.293 | 0.378 | 0.295 | 0.416 |
| smlab | 0.328 | 0.496 | 0.327 | 0.535 |
| MOGS | 0.283 | 0.406 | 0.341 | 0.528 |
| forest | 0.329 | 0.567 | 0.391 | 0.680 |
| DBLAB | 0.308 | 0.505 | 0.339 | 0.585 |
| UEC | 0.181 | 0.275 | 0.218 | 0.421 |
| UYDI | 0.251 | 0.476 | 0.247 | 0.547 |
| LEAD | 0.212 | 0.426 | 0.259 | 0.539 |

3.2 Results on abstraction

3.2.1 Content Metrics

Table 4: Results on Content Evaluation.

| ID | Short | Long |
|--------|-------|-------|
| SOUKEN | 0.228 | 0.214 |
| CRLNYU | 0.188 | 0.240 |
| smlab | 0.247 | 0.258 |
| MOGS | 0.230 | 0.248 |
| forest | 0.291 | 0.323 |
| KLEIR | 0.222 | 0.210 |
| DBLAB | 0.207 | 0.247 |
| UEC | 0.131 | 0.233 |
| UYDI | 0.197 | 0.221 |
| LEAD | 0.160 | 0.159 |
| HUMAN | 0.385 | 0.402 |



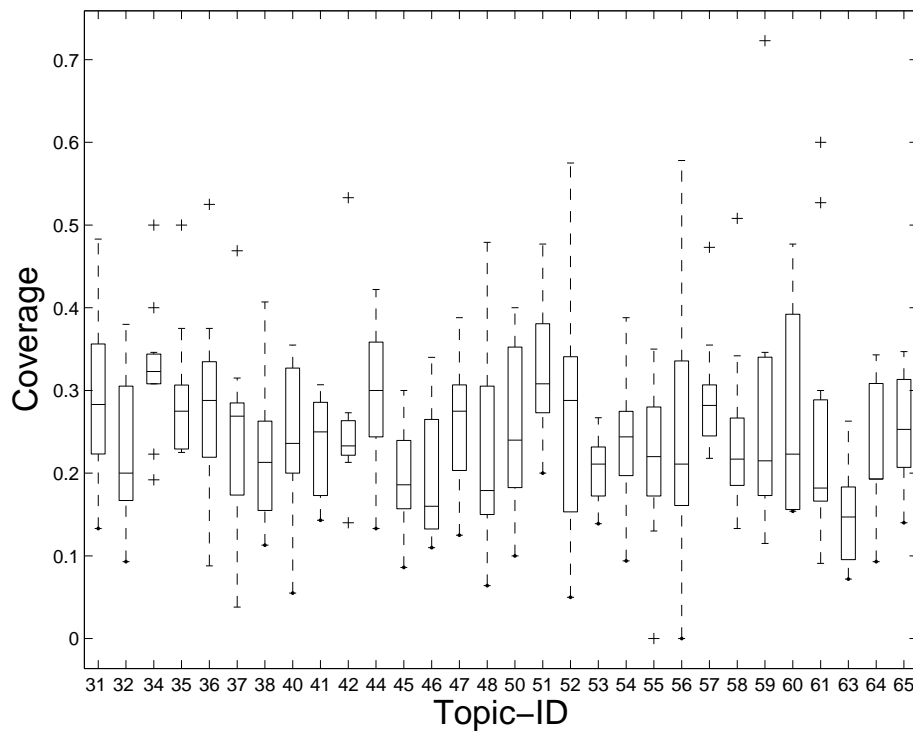
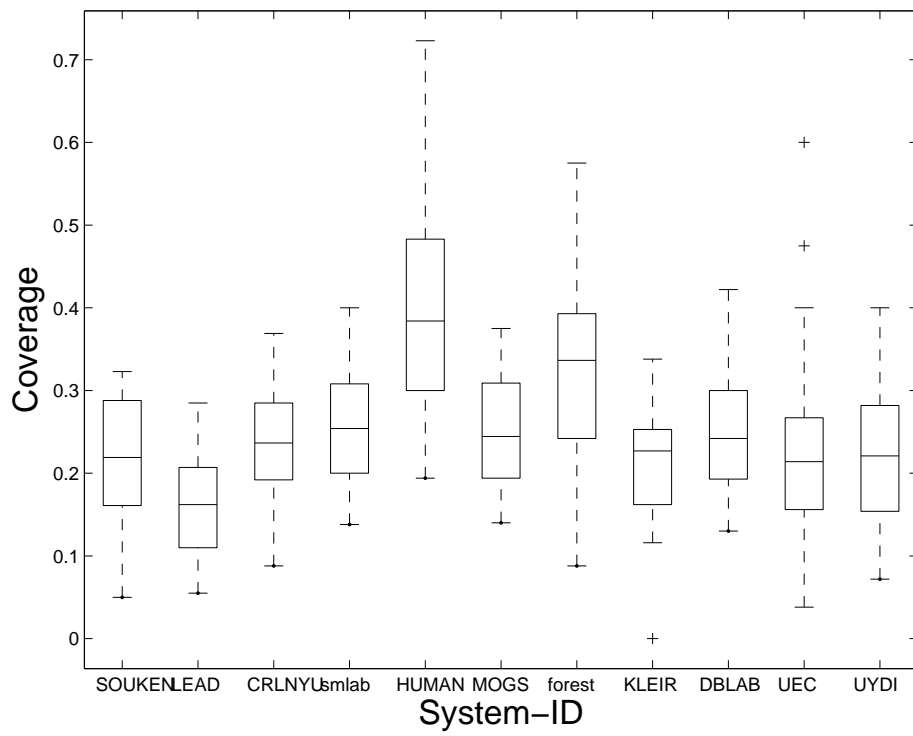


Figure 1: Boxplot(long)

3.2.2 Pseudo Question-Answering Metrics

Table 5: Results for Pseudo Question-Answering.

| ID | Short | | Long | |
|--------|-------|-------|-------|-------|
| | exact | edit | exact | edit |
| SOUKEN | 0.394 | 0.677 | 0.399 | 0.706 |
| CRLNYU | 0.257 | 0.556 | 0.266 | 0.602 |
| smlab | 0.367 | 0.653 | 0.356 | 0.677 |
| MOGS | 0.342 | 0.614 | 0.327 | 0.630 |
| forest | 0.439 | 0.710 | 0.442 | 0.751 |
| KLEIR | 0.321 | 0.601 | 0.313 | 0.611 |
| DBLAB | 0.390 | 0.684 | 0.356 | 0.633 |
| UEC | 0.133 | 0.427 | 0.201 | 0.549 |
| UYDI | 0.304 | 0.579 | 0.308 | 0.628 |
| LEAD | 0.300 | 0.589 | 0.275 | 0.602 |
| HUMAN | 0.461 | 0.716 | 0.426 | 0.721 |

3.2.3 Readability Metrics

Table 6: Results on Readability Evaluation.

| Short | | | | | | | | | | | | | | | | |
|--------|-------|-------|-------|-------|-------|-------|-------|--------|--------|-------|-------|-------|-------|-------|-------|-------|
| ID | q00 | q01 | q02 | q03 | q04 | q05 | q06 | q07 | q08 | q09 | q10 | q11 | q12 | q13 | q14 | q15 |
| SOUKEN | 0.333 | 1.033 | 0.600 | 0.333 | 0.900 | 0.633 | 0.933 | -0.567 | 0.100 | 0.000 | 0.000 | 0.100 | 0.133 | 0.033 | 0.567 | 0.700 |
| CRLNYU | 0.033 | 0.567 | 0.700 | 0.667 | 1.567 | 1.400 | 0.500 | 0.267 | -0.500 | 0.100 | 0.367 | 0.033 | 0.000 | 0.033 | 0.000 | 0.100 |
| smlab | 0.200 | 1.333 | 0.533 | 0.333 | 3.067 | 0.467 | 0.733 | 1.067 | 0.000 | 0.033 | 2.467 | 0.000 | 0.000 | 0.033 | 0.067 | 0.233 |
| MOGS | 0.067 | 0.700 | 0.433 | 0.300 | 2.433 | 0.933 | 0.500 | -0.133 | 0.100 | 1.267 | 0.000 | 0.000 | 0.033 | 0.067 | 0.100 | 0.100 |
| forest | 0.700 | 0.633 | 1.200 | 0.600 | 2.367 | 1.267 | 0.767 | 0.567 | -0.300 | 0.200 | 0.967 | 0.067 | 0.000 | 0.000 | 0.067 | 0.100 |
| KLEIR | 0.100 | 1.067 | 0.433 | 0.400 | 2.433 | 0.500 | 0.567 | 0.867 | 0.200 | 0.267 | 1.633 | 0.100 | 0.000 | 0.000 | 0.067 | 0.100 |
| DBLAB | 0.167 | 1.100 | 0.133 | 0.300 | 1.433 | 0.667 | 0.667 | 0.867 | 0.133 | 0.033 | 1.867 | 0.000 | 0.000 | 0.033 | 0.033 | 0.133 |
| UEC | 1.967 | 0.200 | 1.767 | 0.400 | 0.633 | 3.800 | 1.333 | 0.167 | -0.600 | 0.233 | 0.000 | 0.200 | 0.033 | 0.000 | 0.000 | 0.133 |
| UYDI | 0.167 | 1.233 | 0.767 | 0.267 | 2.567 | 2.800 | 0.600 | 0.667 | -0.600 | 0.567 | 1.833 | 0.000 | 0.000 | 0.067 | 0.033 | 0.233 |
| LEAD | 1.500 | 1.267 | 0.267 | 0.267 | 1.667 | 0.067 | 0.767 | 1.533 | 0.267 | 0.067 | 1.667 | 0.000 | 0.000 | 0.033 | 0.033 | 0.200 |
| HUMAN | 0.033 | 0.267 | 0.000 | 0.000 | 0.433 | 0.400 | 0.400 | 0.000 | 0.933 | 0.500 | 0.033 | 0.000 | 0.000 | 0.033 | 0.033 | 0.033 |

| Long | | | | | | | | | | | | | | | | |
|--------|-------|-------|-------|-------|-------|-------|-------|-------|--------|-------|-------|-------|-------|-------|-------|-------|
| ID | q00 | q01 | q02 | q03 | q04 | q05 | q06 | q07 | q08 | q09 | q10 | q11 | q12 | q13 | q14 | q15 |
| SOUKEN | 0.200 | 1.600 | 1.133 | 0.433 | 5.533 | 2.100 | 1.000 | 1.900 | -0.833 | 0.733 | 2.967 | 0.500 | 0.000 | 0.000 | 0.067 | 0.300 |
| CRLNYU | 0.300 | 0.500 | 2.100 | 0.333 | 2.667 | 3.600 | 1.500 | 0.467 | -0.900 | 0.133 | 0.233 | 0.000 | 0.067 | 0.000 | 0.033 | 0.233 |
| smlab | 0.433 | 1.700 | 0.933 | 0.100 | 5.133 | 1.300 | 1.100 | 1.800 | -0.500 | 0.167 | 3.900 | 0.033 | 0.033 | 0.033 | 0.033 | 0.333 |
| MOGS | 0.167 | 1.367 | 0.833 | 0.400 | 4.200 | 1.100 | 1.100 | 1.300 | -0.533 | 0.133 | 3.000 | 0.133 | 0.000 | 0.033 | 0.100 | 0.200 |
| forest | 1.100 | 1.200 | 1.367 | 0.633 | 4.667 | 1.233 | 1.133 | 1.233 | -0.633 | 0.167 | 3.067 | 0.033 | 0.000 | 0.033 | 0.033 | 0.300 |
| KLEIR | 0.333 | 1.567 | 1.067 | 0.533 | 4.567 | 1.000 | 0.933 | 1.967 | -0.133 | 0.200 | 3.300 | 0.000 | 0.000 | 0.000 | 0.033 | 0.100 |
| DBLAB | 0.367 | 1.500 | 0.600 | 0.467 | 2.833 | 2.033 | 0.967 | 1.567 | -0.267 | 0.067 | 3.533 | 0.100 | 0.000 | 0.067 | 0.033 | 0.233 |
| UEC | 2.367 | 0.133 | 2.500 | 0.500 | 2.567 | 4.667 | 1.833 | 0.333 | -0.733 | 0.333 | 0.300 | 0.233 | 0.067 | 0.067 | 0.000 | 0.233 |
| UYDI | 0.700 | 1.433 | 1.400 | 0.400 | 5.133 | 4.500 | 0.767 | 1.967 | -0.933 | 0.933 | 4.367 | 0.067 | 0.033 | 0.033 | 0.033 | 0.400 |
| LEAD | 2.833 | 2.100 | 0.633 | 0.367 | 4.300 | 0.300 | 1.033 | 4.333 | -0.333 | 0.067 | 5.133 | 0.000 | 0.000 | 0.000 | 0.067 | 0.433 |
| HUMAN | 0.033 | 0.167 | 0.100 | 0.000 | 1.133 | 0.467 | 0.433 | 0.067 | 0.800 | 0.567 | 0.000 | 0.033 | 0.000 | 0.000 | 0.033 | 0.100 |